

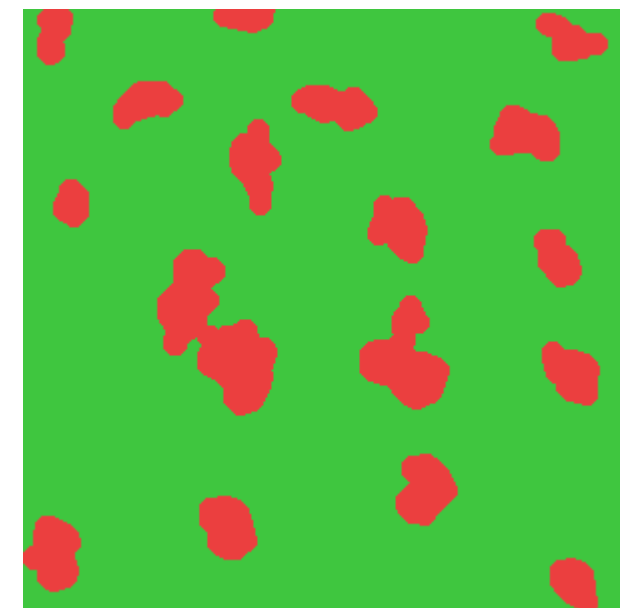
jsou složené ze dvou (i více) fází (a také roztoky polymerů).

Zpravidla **dispergovaná fáze** ve spojité fázi

Obvykle s/l, l/l, ...

Rozdělení podle velikosti částic:

- hrubě disperzní (heterogenní), $> 1 \mu\text{m}$
- koloidní $1 \mu\text{m} - 1 \text{ nm}$ (nepravé roztoky)
 - heterogenní (micely, sraženiny, ...), nanočástice
 - homogenní (roztoky makromolekul)
- analytické (homogenní) (pravé roztoky)

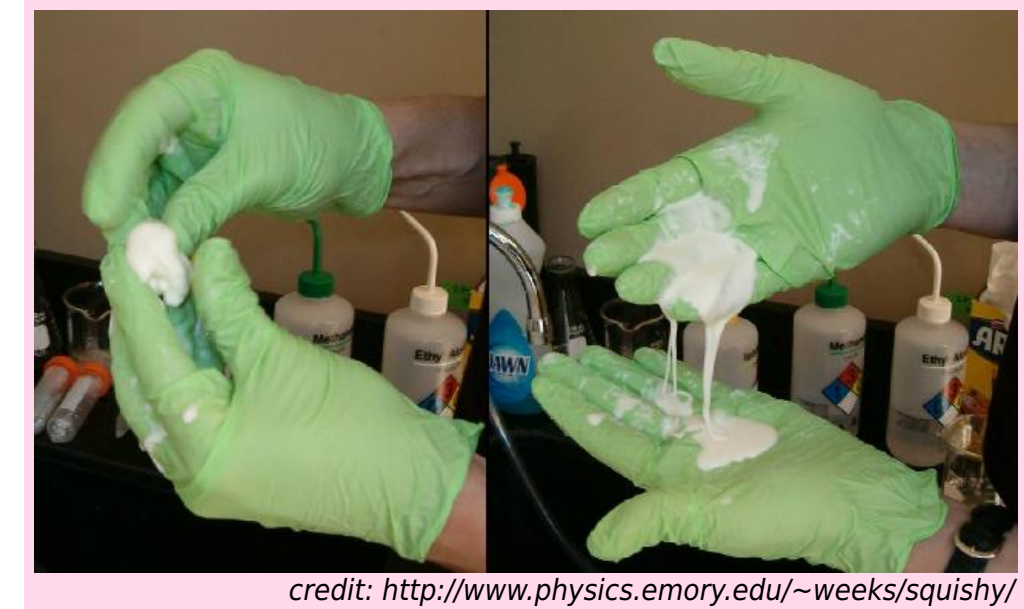


Příklady: roztoky polymerů, asfalt, škrob, čerstvá sraženina, mléko, ...

Vlastnosti disperzí

- Vzhled: hrubé – mléčně zakalené až neprůhledné (turbidita)
 velikost $\gg \lambda$: bílá/šedá (pro nebarevné částice)
 velikost $\approx \lambda$: Tyndallův jev, víc se rozptyluje modrá
 velikost $\ll \lambda$: Rayleighův rozptyl světla (modrá obloha, červánky)
 pozn.: pružný (elastický) rozptyl, energie fotonu se nemění
- Koligativní vlastnosti – měřitelné jen u jemných disperzí
- Brownův pohyb; difuzivita klesá s rostoucí hrubostí ($D = k_B T / 6\pi\eta R$)
- Viskozita – větší než u spojité fáze,
 často neNewtonovské chování
 - plasticita = teče po překonání meze
 - dilatance = objem a také viskozita
 (*shear thickening*) roste pro
 větší napětí (voda + škrob)
- Hustota – mezi oběma fázemi
- Povrchové napětí – často klesá

λ = vlnová délka světla



credit: <http://www.physics.emory.edu/~weeks/squishy/>

	dispergovaná látka		
	(s)	(l)	(g)
(s)	tuhý sol tuhá směs	tuhá emulze	tuhá pěna
(l)	(lyo)sol suspenze	emulze	pěna
(g)	aerosol kouř, prach	aerosol mlha	–

koloidy ($< 1 \mu\text{m}$)
hrubé disperze ($> 1 \mu\text{m}$)

Tvar částic:

- globulární (koule), izometrické částice ($r_x \approx r_y \approx r_z$)
- laminární (placky), anizometrické částice ($r_x \approx r_y \gg r_z$)
- fibrilární (vlákna), anizometrické částice ($r_x \gg r_y \approx r_z$)

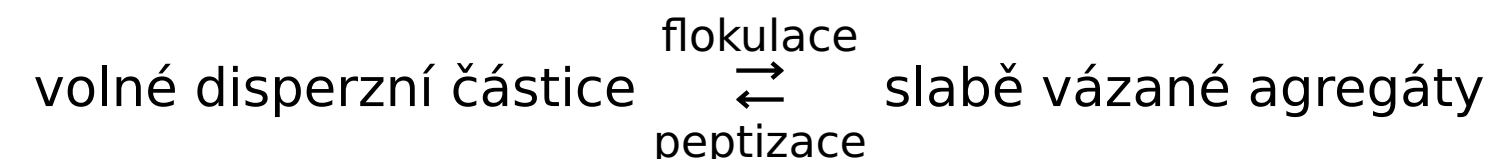
Interakce:

- lyofilní disperze (částice smáčí disperzní prostředí)
ve vodě: hydrofilní
- lyofobní disperze (částice nesmáčí disperzní prostředí)
ve vodě: hydrofobní
- volné – částice daleko od sebe, neinteragují
- vázané – částice interagují („slepí se“) (gel)

- polymerace
- přesycení roztoku (např. ouzo), podchlazení (metastabilní stav), příp. spinodální dekompozice (nestabilní)
- vznik micel přesycením roztoku surfaktantu nad kritickou micelární koncentrací (CMC)
- mechanicky z větších částic (mletí, ultrazvuk)
- elektricky (oblouk, katodické rozprašování)
- srážecí aj. reakce – produkt je nerozpustný (např. AgBr při přípravě fotografických „emulzí“), často následováno peptizací.

Mikrokrystalky sraženiny bývají slepeny, protože v koncentrovaném roztoku je el. dvojvrstva příliš tenká a nestabilizuje koloid (viz teorie DLVO), po vymytí iontů může dojít k oddělení krystalků – peptizaci.

Agregace slabými silami:



Rozdělovací funkce

Hmotnostní diferenciální rozdělovací funkce $F_w(m)$:

podíl (pravděpodobnost = počet/(celkový počet))
částic s hmotností v intervalu $(m, m + dm)$ je $F_w(m)dm$.

normalizace: $\int_0^\infty F_w(m)dm = 1$

Integrální rozdělovací funkce: podíl částic s hmotností $< m$:

$$I_w(m) = \int_0^m F_w(m')dm', \quad Q_w(m) = \int_m^\infty F_w(m')dm' = 1 - I_w(m) \text{ doplňková}$$

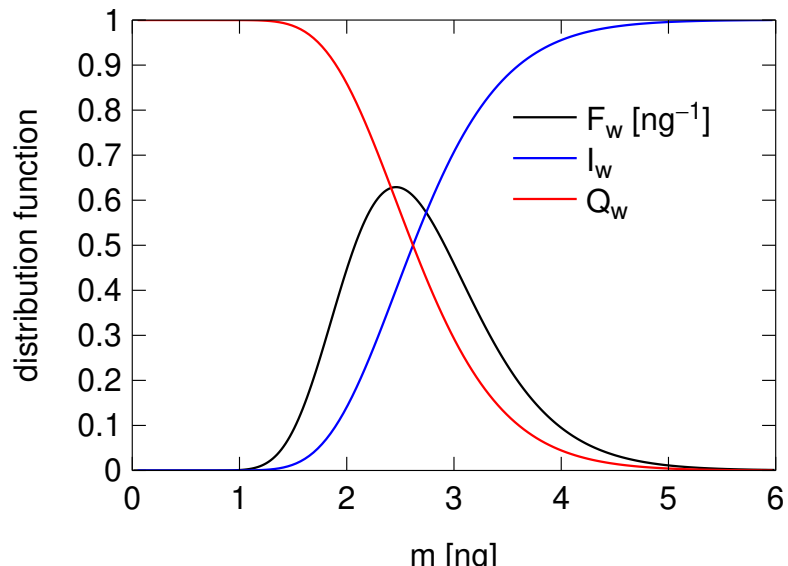
Obdobně rozdělovací funkce velikosti částic ...

- Monodisperzní systém – částice stejné velikosti (špičaté rozdělení); někdy i krystalizují (virus tabákové mozaiky – 2D)

Koule: fcc 74%, náhodné těsné uspořádání (*random close packing*) 64%

- Polydisperzní systém: např. asfaltová směs na silnice (příklad náhodného fraktálu),
zkus odhadnout podíl minerálního plniva!

Frakce = skupiny částic (přibližně) stejné velikosti (získáme filtrací)



Sedimentace

Sedimentace (usazování) je pohyb a ukládání částic v tekutině ve směru působící vnější síly $\vec{F} = -\text{grad } U$, kde U je potenciál síly.

Druhy sil: tíhová (gravitační), odstředivá (centrifugální), elektrostatická, obecněji elektromagnetická

Tíhová síla (zrychlení = $-g$) a její potenciál:

$$F = -\Delta m g \Rightarrow U(h) = - \int_0^h F dh' = \int_0^h \Delta m g dh' = \Delta m gh$$

Síla v odstředivce (centrifuze) a její potenciál:

$$F = \Delta m a = \Delta m R \omega^2 \Rightarrow U(R) = - \int_0^R F dR' = - \int_0^R \Delta m R' \omega^2 dR' = -\frac{1}{2} \Delta m (R \omega)^2$$

$\omega = d\alpha/dt = 2\pi\nu = 2\pi/t_0$ = úhlová (kruhová) frekvence

$\nu = 1/t_0$ = frekvence (ν Hz nebo RPM, 1 RPM = 1/min = $\frac{1}{60}$ Hz)

t_0 = perioda jedné otočky

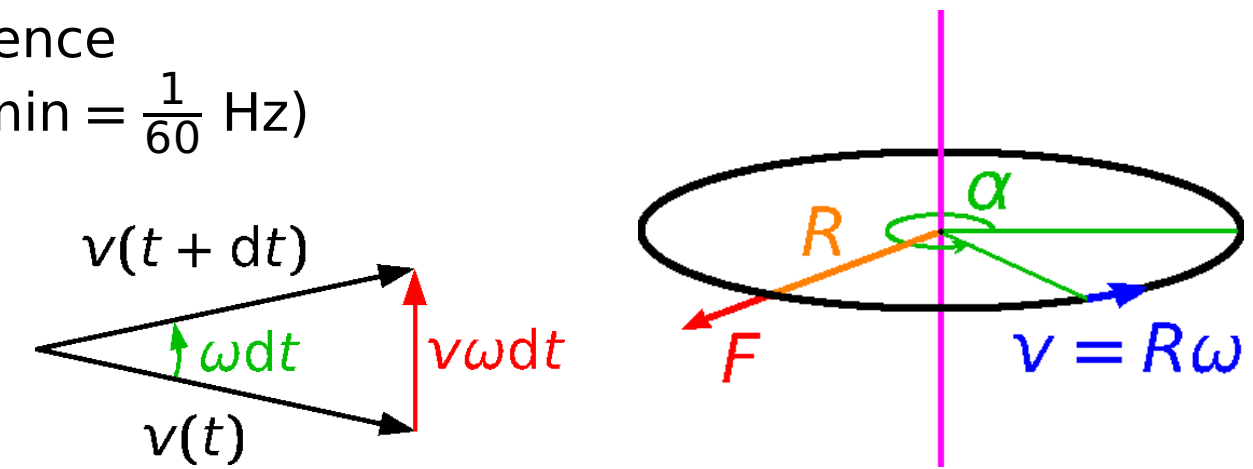
R = poloměr otáčení

$v = R\omega$ = rychlosť

a = zrychlení: $a = \frac{|\vec{v}(t+dt) - \vec{v}(t)|}{dt} = \nu\omega = R\omega^2$

Asfaltová směs:
95 % minerálního plniva,
5 % živice;
u litého 93 % a 7 %

$\Delta m = m - m_{\text{vytl}}$, kde m_{vytl} je hmotnost vytlačeného rozpouštědla podle Archimédova zákona



Rychlosť sedimentácie

Hustota častic = ρ_1

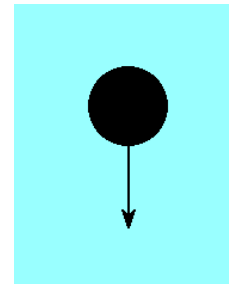
Hustota disperzného prostredia = ρ

Viskozita disperzného prostredia = η

Objem častice = V_1

Koeficient tření = f

Rychlosť sedimentácie = v



Pomér v/a má rozmer času. Niekedy sa vyjadruje v jednotke svedberg (Sv nebo S), $1 \text{ Sv} = 10^{-13} \text{ s}$ – podľa vynálezca ultracentrifugy a nositele Nobelovej ceny Theodora Svedberga (1884–1971).

V poli tíže:

Síla (vč. vztlaku podľa Archimedova zákona) (formálne s opačným znaménkom)

$$F = \Delta mg, \quad = V_1(\rho_1 - \rho)g, \quad v = \frac{F}{f} = \frac{V_1(\rho_1 - \rho)g}{f}$$

Kulové častice: $V_1 = \frac{4}{3}\pi r^3$, $f = 6\pi\eta r$ (Stokes)

$$v = \frac{2r^2}{9\eta}(\rho_1 - \rho)\textcolor{red}{g}$$

V centrifuze: miesto $\textcolor{red}{g}$ použijeme $R\omega^2$

(typicky $1000g$ – $10\,000g$, ultracentrifuga až 10^6g)

Malé častice sedimentujú pomalu.

Molekuly taky sedimentujú (velmi pomalu): obohacovanie uranu centrifugací $\text{UF}_6(g)$.



Sedimentační rovnováha

Z Boltzmannovy pravděpodobnosti

Ideální roztok: koncentrace \propto Boltzmannova pravděpodobnost \Rightarrow

$$c(\vec{r}) = c_0 \exp\left(\frac{-U(\vec{r})}{k_B T}\right)$$

V těhovém poli je to barometrická rovnice:

$$c(h) = c(0) \exp\left(\frac{-\Delta m gh}{k_B T}\right)$$

V centrifuze o úhlové frekvenci $\omega = 2\pi\nu$ (ν = frekvence):

$$c(R) = c(0) \exp\left(\frac{\frac{1}{2}\Delta m(R\omega)^2}{k_B T}\right)$$

kde $\Delta m = V_1(\varrho_1 - \varrho)$

Sedimentační rovnováha

Z rychlostí sedimentace a difuze

$$v_{\text{sedimentace}} = \frac{F}{f} = -\frac{\nabla U}{f}$$

$$v_{\text{difuze}} = \frac{J}{c} = -\frac{D \nabla c}{c} = -D \nabla \ln c = -\frac{k_B T}{f} \nabla \ln c$$

$$v_{\text{sedimentace}} + v_{\text{difuze}} = 0 = -\frac{\nabla U}{f} - \nabla \frac{k_B T}{f} \ln c \Rightarrow c = c_0 \exp\left(-\frac{U}{k_B T}\right)$$

Nechť μ je na 1 částici (ne mol). Aproximace nekonečného zředění:

$$\mu = \mu_0 + k_B T \ln(c/c^{\text{st}}) \Rightarrow v_{\text{difuze}} = -\frac{1}{f} \nabla \mu$$

Pak

$$v_{\text{sedimentace}} + v_{\text{difuze}} = 0 = -\frac{\nabla U}{f} - \frac{1}{f} \nabla \mu$$

je ekvivalentní vztahu

$$U + \mu = \text{const}$$

Před časem jsme naopak **předpokládali**, že $U + \mu = \text{const}$, a z toho **odvodili** Einsteinovu-Smoluchowského rovnici $D = k_B T/f$.

Příklad

Rovnovážná koncentrace monodisperzních olejových kapiček (stabilizovaných aniontovým surfaktantem) v kyvetě 10 cm vysoké je dvojnásobná u povrchu než u dna. Vypočtěte průměr kapiček. Teplota je 25 °C, hustota vody je 0.997 g cm^{-3} , hustota oleje je 0.920 g cm^{-3} .

$$c(h) = c(0) \exp\left(\frac{-\Delta m gh}{k_B T}\right)$$

$$\Rightarrow \Delta m = -\ln \frac{c(h)}{c(0)} \times \frac{k_B T}{gh} = -\ln 2 \times \frac{1.381 \times 10^{-23} \text{ J K}^{-1} \times 298 \text{ K}}{9.81 \text{ ms}^{-2} \times 0.1 \text{ m}} = -2.91 \times 10^{-21} \text{ kg}$$

$$\Delta m = \frac{4\pi}{3} r^3 \Delta \rho = \frac{\pi}{6} d^3 \Delta \rho$$

$$\Delta \rho = 920 \text{ kg m}^{-3} - 997 \text{ kg m}^{-3} = -77 \text{ kg m}^{-3}$$

$$\Rightarrow d = \sqrt[3]{\frac{6\Delta m}{\pi \Delta \rho}} = \sqrt[3]{\frac{6 \times (-2.91 \times 10^{-21} \text{ kg})}{\pi \times (-77 \text{ kg m}^{-3})}} = 4.16 \times 10^{-8} \text{ m} = \underline{42 \text{ nm}}$$

Příklad

Uvažujme globulární protein o molekulové hmotnosti 120 kDa. Jaká je rychlosť sedimentace v centrifuze o rotující rychlosťi 24 000 RPM v bodě $R = 5\text{ cm}$ od osy rotace? Hustota proteinu je 1.35 g cm^{-3} , viskozita vody je 0.891 mPa s , hustota vody 0.997 g cm^{-3} . Zabrání difuze sedimentaci za teploty 25°C ?

$$\omega = 2\pi \times \frac{24000}{\text{min}} = 2\pi \times \frac{24000}{60\text{ s}} = 2\pi \times 400\text{ s}^{-1} = 2513\text{ s}^{-1}$$

$$a = \omega^2 R = 315827\text{ m s}^{-2}$$

$$V_1 = \frac{M}{N_A \rho_{\text{protein}}} = \frac{120\text{ kg mol}^{-1}}{6.022 \times 10^{23}\text{ mol}^{-1} \times 1350\text{ kg m}^{-3}} = 1.476 \times 10^{-25}\text{ m}^3$$

$$r = \sqrt[3]{\frac{3V_1}{4\pi}} = 3.278 \times 10^{-9}\text{ m}$$

$$\Delta\rho = 1350\text{ kg m}^{-3} - 997\text{ kg m}^{-3} = 353\text{ kg m}^{-3}$$

Příklad – pokračování

$$\begin{aligned}
 v &= \frac{2r^2}{9\eta}(\varrho_{\text{protein}} - \varrho_{\text{voda}})a \\
 &= \frac{2 \times (3.278 \times 10^{-9} \text{ m})^2}{9 \times 0.891 \times 10^{-3} \text{ Pas}} \times 353 \text{ kg m}^{-3} \times 315827 \text{ ms}^{-2} \\
 &= 2.99 \times 10^{-7} \text{ ms}^{-1} = \underline{1.08 \text{ mm h}^{-1}}
 \end{aligned}$$

Tloušťka, ve které klesne koncentrace na 1/e

$$\exp\left(\frac{-h\Delta\varrho V_1 a}{k_B T}\right) = \exp(-1)$$

$$h = \frac{k_B T}{\Delta\varrho V_1 a} = \frac{1.381 \times 10^{-23} \text{ J K}^{-1} \times 298 \text{ K}}{353 \text{ kg m}^{-3} \times 1.476 \times 10^{-25} \text{ m}^3 \times 315827 \text{ ms}^{-2}} = \underline{0.25 \text{ mm}}$$

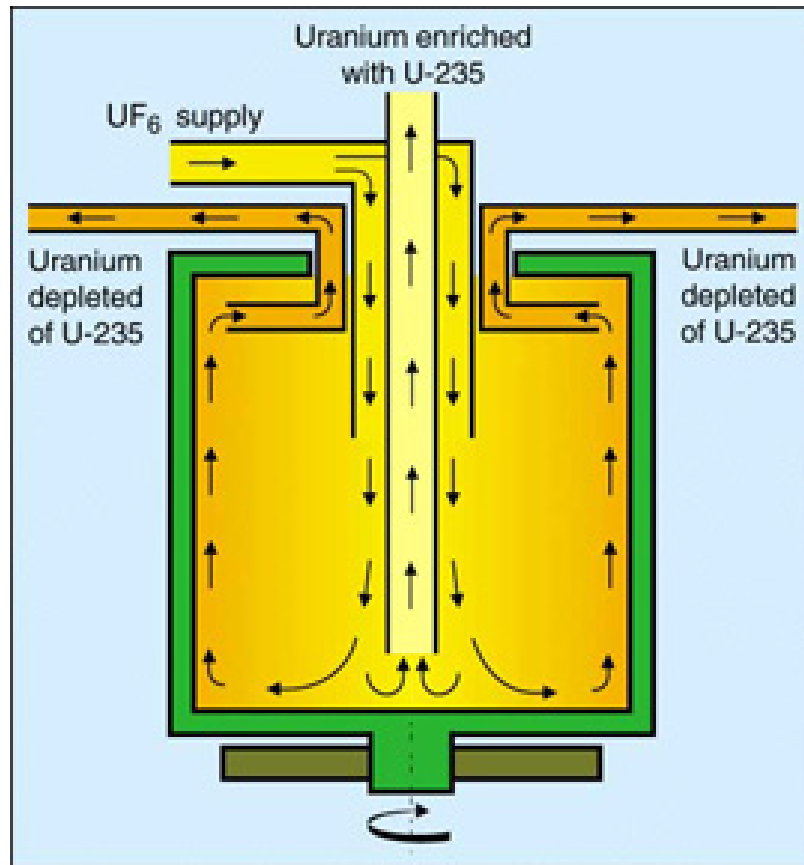
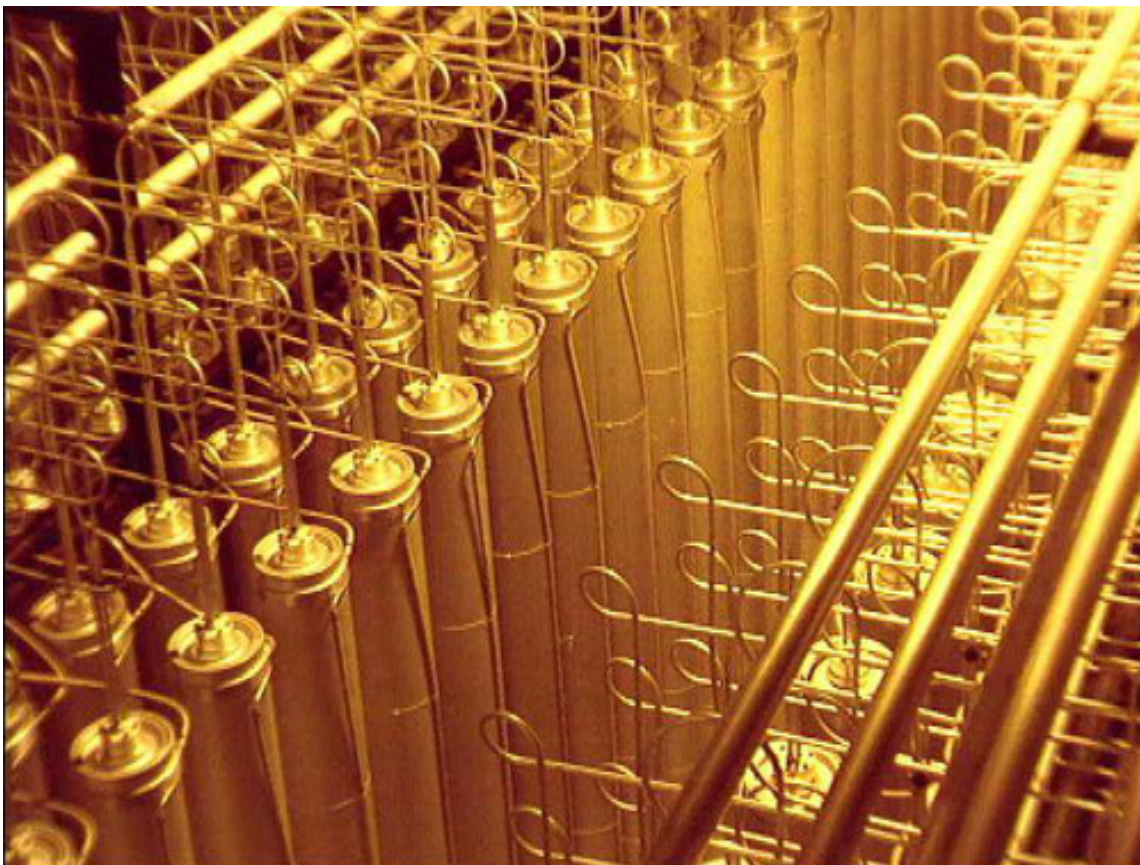
$h \ll R \Rightarrow$ lze očekávat dobrou sedimentaci

Obohacování uranu (2020–2021 vynescháno)

+ 14/32
AB24

Příklad. O kolik se maximálně obohatí uran (z ^{238}U na ^{235}U) v ultracentrifuze obsahující plynný UF_6 za teploty $T = 350\text{ K}$? Otáčky jsou $90\,000\text{ min}^{-1}$, na obvodu je nadzvuková rychlosť (počítejte 500 m s^{-1}). V přírodním uranu je 0.71 % ^{235}U a zbytek je ^{238}U .

$$R = 5.3\text{ cm}, \omega = 9425\text{ s}^{-1} \Leftrightarrow 0.13\%$$

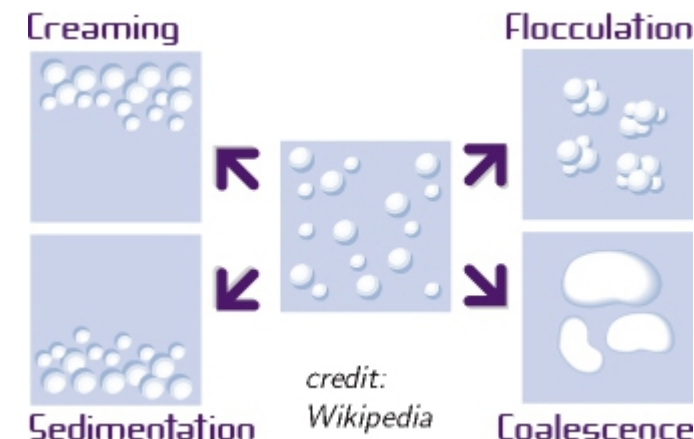


Stabilita disperzí

Disperze jsou termodynamicky metastabilní (velká plocha rozhraní)

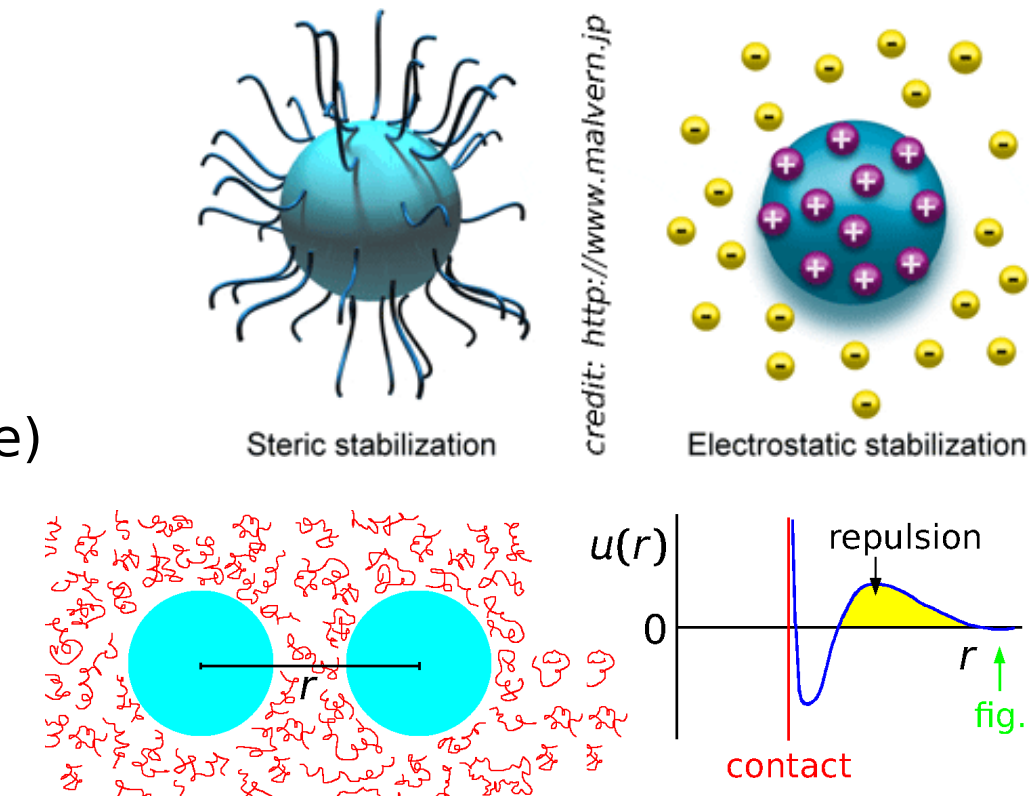
Zánik disperze:

- flokulace (vratně), koagulace (nevratně) } přitažlivé síly
- koalescence (splývání kapek) } částice–částice
- sedimentace (usazování), *creaming* (vzplývání)
- Ostwaldovo zrání (podle Kelvinovy rovnice)



Stabilizace:

- ve vzduchu: elektrickým nábojem } odpudivé síly
- v roztoku: elektrickou dvojvrstvou } částice–částice
- sterická (adsorpce makromolekul v dobrém rozpouštědle)
- *depletion* (počeštěně deplete) – makromolekuly mezi
- elektrosterická
- kinetická (ve viskózním prostředí)



DLVO teorie

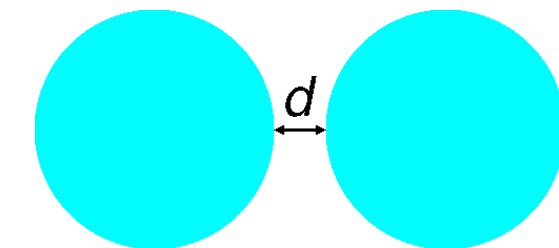
Děrjagin (Дерягин, Derjaguin, Deryagin) + Landau (Ландау), Verwey (Verweij) + Overbeek.

- disperzní síly jsou přitažlivé
 - atom–atom $\propto 1/r^6$
 - po vyintegrování přes všechny atomy $\propto 1/d$ (pro malé d)
 - platí i pro částice v prostředí (po odečtení prostředí)

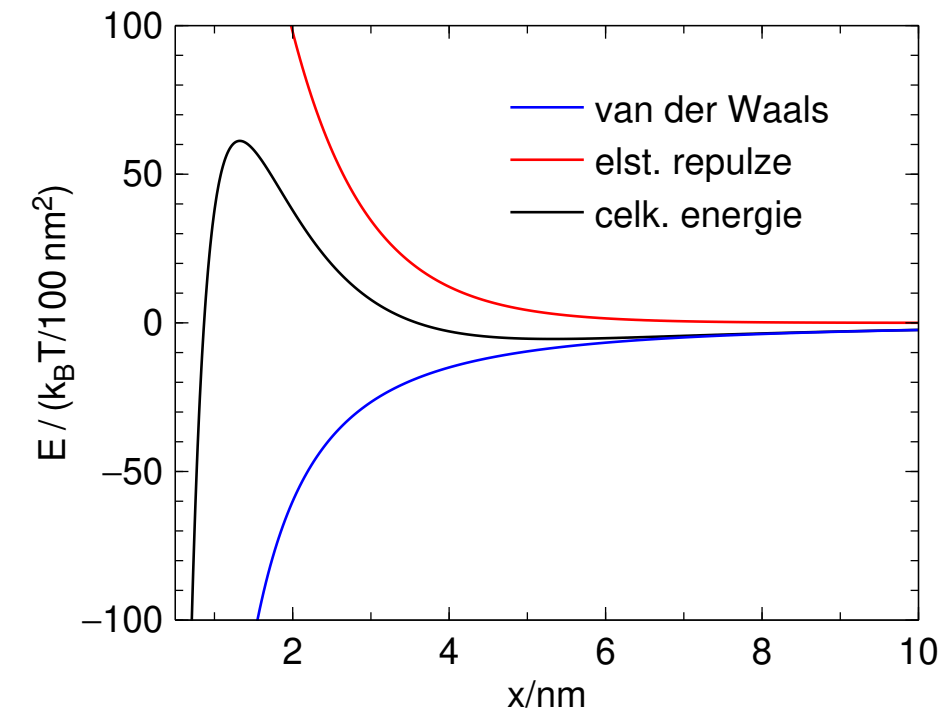
- stejné náboje se odpuzují
 - ve vzduchu jako $\propto 1/r$
 - v roztoku s ionty jako $\propto e^{-d/\lambda}$

Stabilita je daná poměrem obou sil, které mají různý průběh:

- disperzní síly koloid destabilizují
- povrchový náboj koloid stabilizuje
- bariéra $> 25k_B T \Rightarrow$ stabilita ($e^{-E/k_B T} = e^{-25} \approx 10^{-11}$)
- více solí v roztoku koloid destabilizuje (zkrátí se λ)
- pro typický čas nestability se uvažuje Brownův pohyb a typická vzdálenost mezi částicemi



krychle $TiO_2 (10 nm)^3$ ve vodě,
 $\phi_0 = 0.15 V$, $c_{sůl} = 0.1 mol dm^{-3}$:

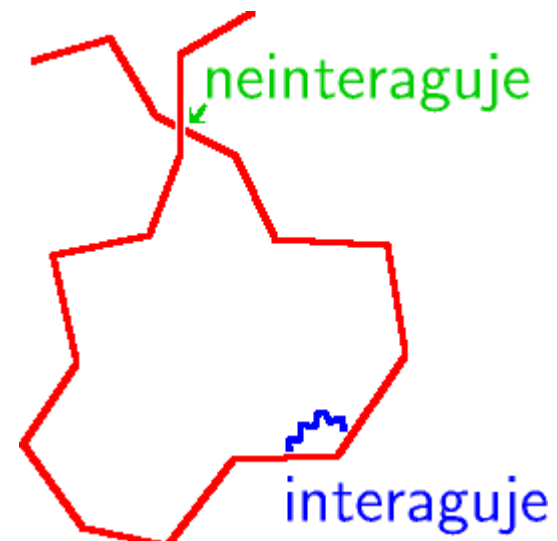


Model **ideálního řetězce**:

- články řetězce spojeny ohebně (vazby, úhly, torze)
- články dostatečně daleko od sebe již neinteragují (rozumí se efektivní interakce zprostředkovaná rozpouštědlem)
= náhodná procházka (s protínáním) = trajektorie Brownova pohybu

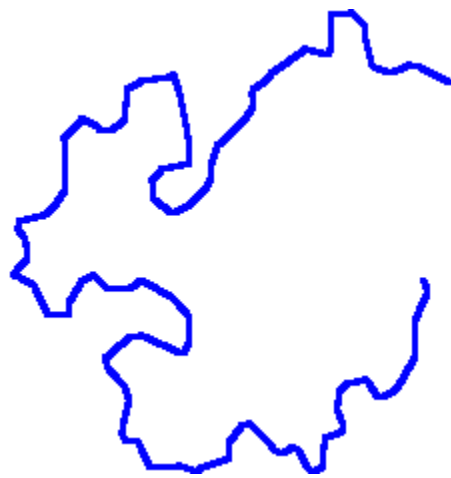
Brownův pohyb: $\langle r^2 \rangle = 6D\tau$, čas τ odpovídá počtu článků N

\Rightarrow velikost klubka $\propto N^{1/2}$



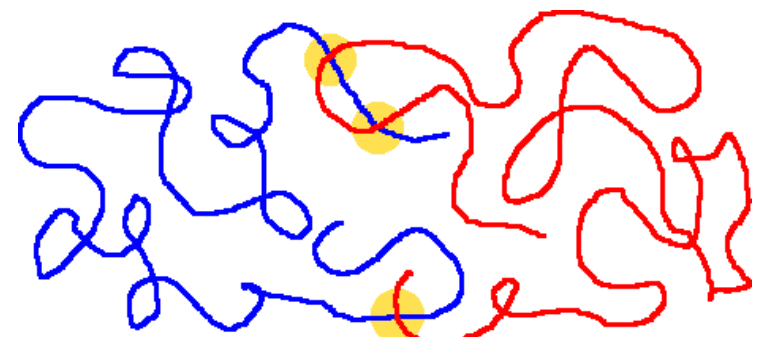
Lepší modely:

- odpudivé síly \rightarrow vyloučený objem (články se nepřekrývají)
- přitažlivé síly \rightarrow „záporný vyloučený objem“ (články se na sebe lepí)



dobré rozpouštědlo – lyofilmí polymer, články se (efektivně) odpuzují, řetězec se poněkud rozplete = náhodná procházka bez protínání – velikost klubka $\propto N^{1/1.7}$

entropická (sterická) repulze – klubka v dobrém rozpouštědle se odpuzují z důvodu vyloučeného objemu



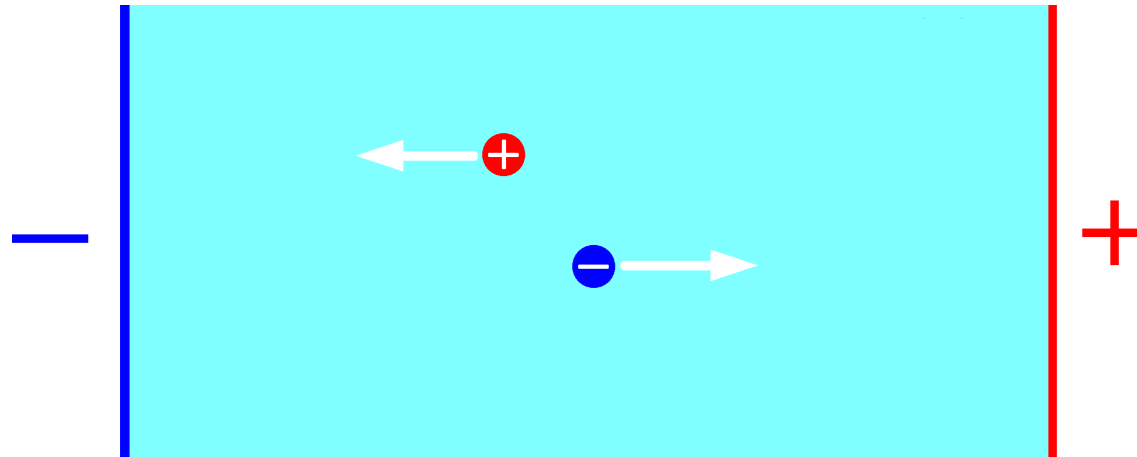
theta-rozpouštědlo – přitažlivé a odpudivé interakce se vyrovnaní (články řetězce interagují s rozpouštědlem stejně jako navzájem) \approx ideální řetězec – velikost klubka $\propto N^{1/2}$



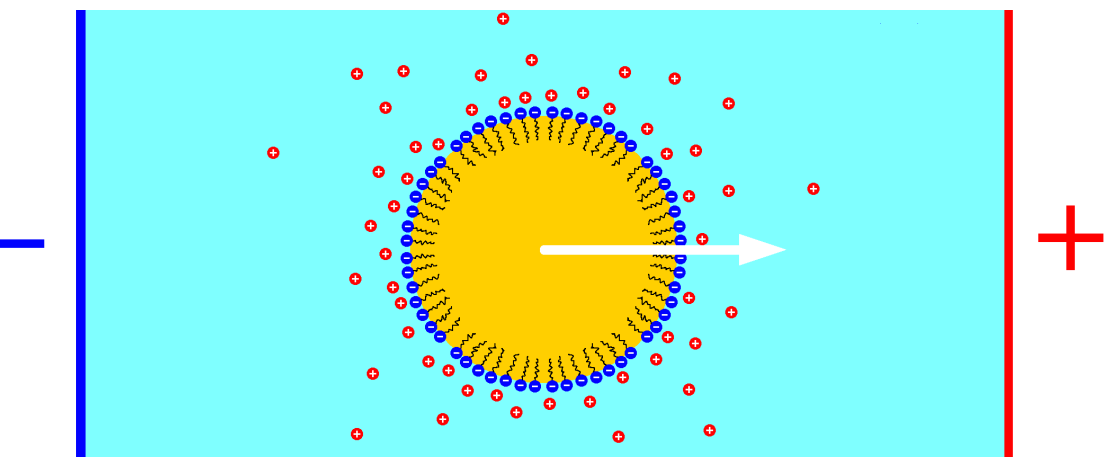
špatné rozpouštědlo – lyofobní polymer, články se (efektivně) přitahují, řetězec se sbalí do malého objemu (s určitým podílem rozpouštědla mezi) – velikost klubka $\propto N^{1/3}$



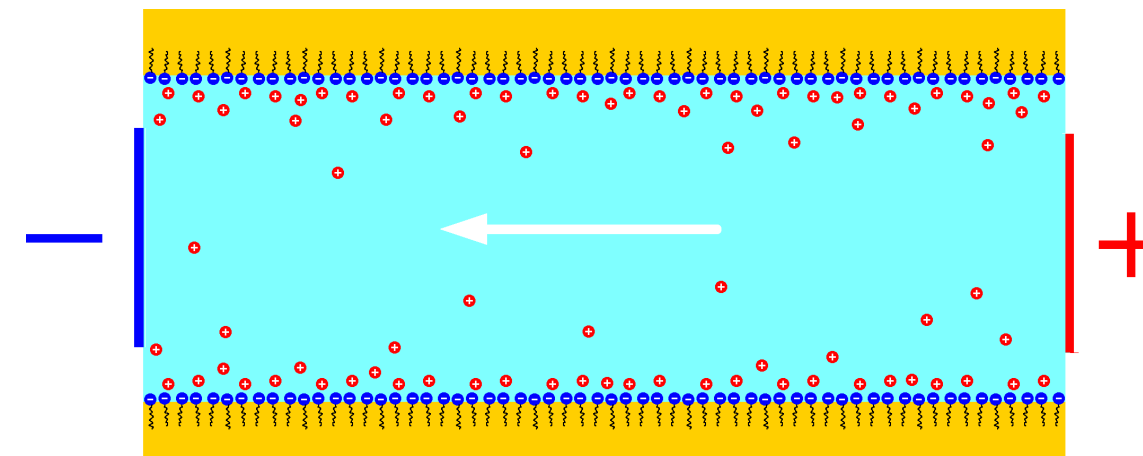
ne-rozpouštědlo – žádné rozpouštědlo mezi řetězci – velikost $\propto N^{1/3}$



ionty v roztoku v el. poli
migrace iontů, el. vodivost

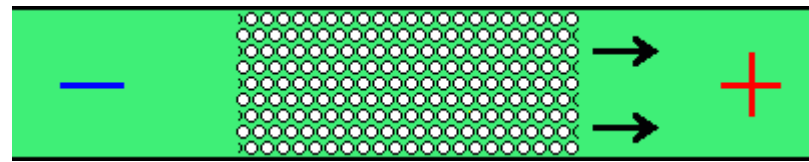


nabitá koloidní částice v el. poli
elektroforéza



iontový roztok v kapiláře s povrchovým nábojem
elektroosmóza

Elektrokinetické jevy



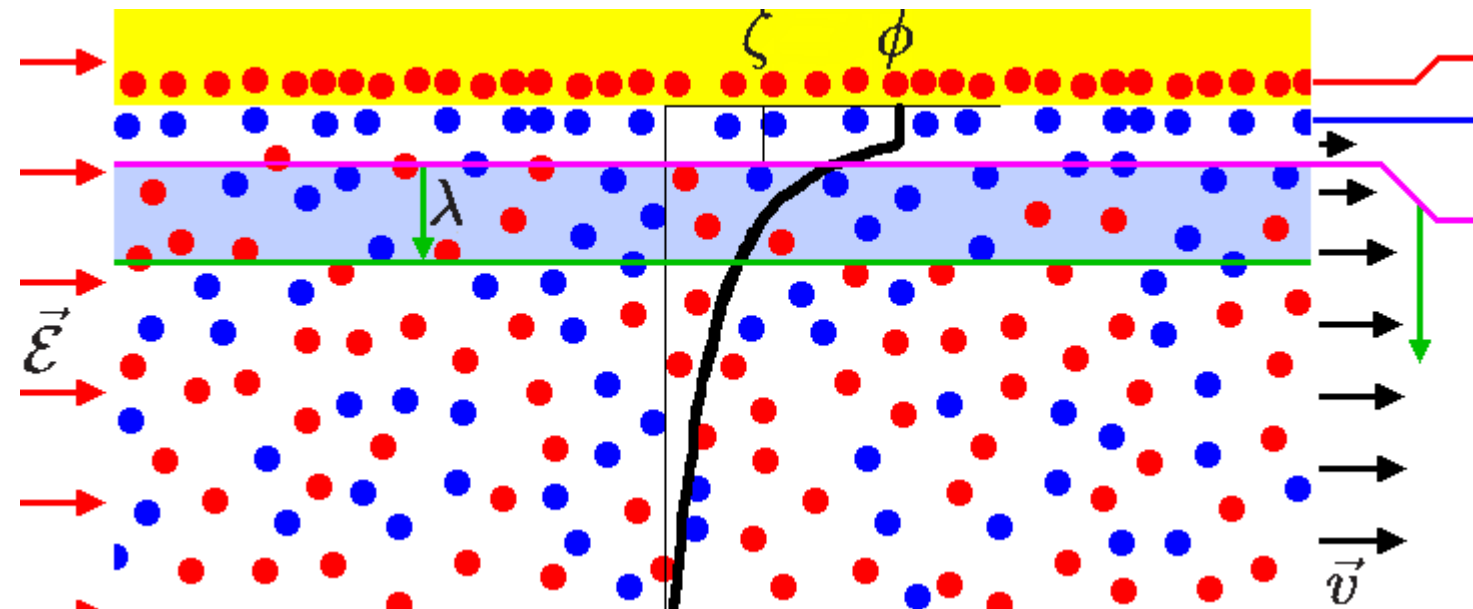
- elektroosmóza – pohyb iontového roztoku pórézním materiélem pod vlivem el. napětí
projevy: elektroosmotický tok / elektroosmotický tlak (elevace)
- opačně: elektrický proud a potenciál proudění – vznik proudu/napětí při proudění (*streaming potential/current*)
- elektroforéza – pohyb koloidu v iontovém roztoku
- opačně: sedimentační potenciál či proud

Nesměšujte s elektrokapilárním jevem
(změna povrchového napětí např. rtuti při změně potenciálu)
video, obrázek: jchemed.chem.wisc.edu



Elektroosmóza

smykové rozhraní (pohybové rozhraní, *shear plane*, *slipping plane*) = plocha dělící pohybující se kapalinu od nepohyblivé u povrchu



nabitý povrch
adsorbováno (Stern)
smykové rozhraní
difuzní vrstva
(Gouy–Chapman)

neutrální roztok

Povrchový náboj = σ , intenzita el. pole = ϵ (rovnoběžně), viskozita = η

$$\text{Tečná el. síla na jednotku plochy: } \sigma\epsilon = \eta \frac{v}{\lambda} \Rightarrow \text{rychlosť } v = \frac{\sigma\epsilon\lambda}{\eta}$$

Kapacita dvojvrstvy (na jednotku plochy) $C/A = \epsilon/\lambda$ potenciál na smykovém rozhraní = ζ = **zeta-potenciál** = elektrokinetický potenciál

$$\sigma = \frac{C}{A}\zeta = \frac{\epsilon}{\lambda}\zeta \Rightarrow v = \frac{\epsilon\epsilon}{\eta}\zeta$$

Elektroosmóza

Smoluchowského (též Helmholtzova–Smoluchowského) rovnice:

$$\nu = \frac{\epsilon \zeta \mathcal{E}}{\eta} \quad (1)$$

Elektrický proud plochou průřezu A_θ : $I = A_\theta \mathcal{E} \kappa = A_\theta \frac{U}{L} \kappa$ (κ = konduktivita roztoku)

Objemový průtok: $\frac{dV}{dt} = \nu A_\theta$

$$\frac{dV}{dt} = \frac{\epsilon \zeta}{\eta \kappa} I \quad (2)$$

Rov. (1) platí s koeficientem $\frac{2}{3}$ i pro **elektroforézu** kulovitých částic, jestliže jsou-li částice dost velké a daleko od sebe ($\gg \lambda$). Pro malé částice přechází v iontovou vodivost, $u \propto 1/\eta$.

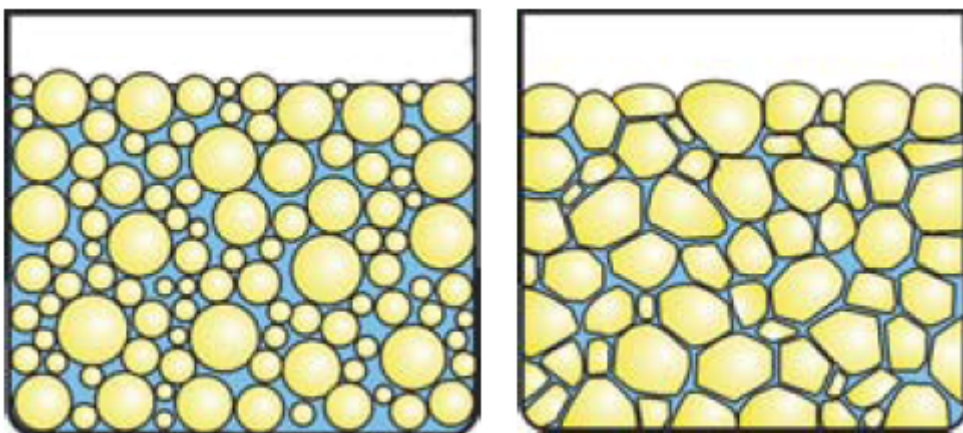
Rov. (1) a (2) se používají k měření ζ

Stabilita koloidu vyžaduje $|\zeta|$ aspoň zhruba 40 mV.

Izoelektrický bod: taková koncentrace iontů/pH, že $\zeta = 0$ (\approx částice není nabité) – typické pro polyelektryly (např. proteiny, které obsahují jak $-NH_2$, tak $-COOH$). Nejmenší odpuzování – nejlépe se svinuje.

Typy:

- O/V (*oil-in-water*), přímá emulze:
méně polární (olej) v polárnější kapalině (voda)
- V/O (*water-in-oil*), obrácená emulze

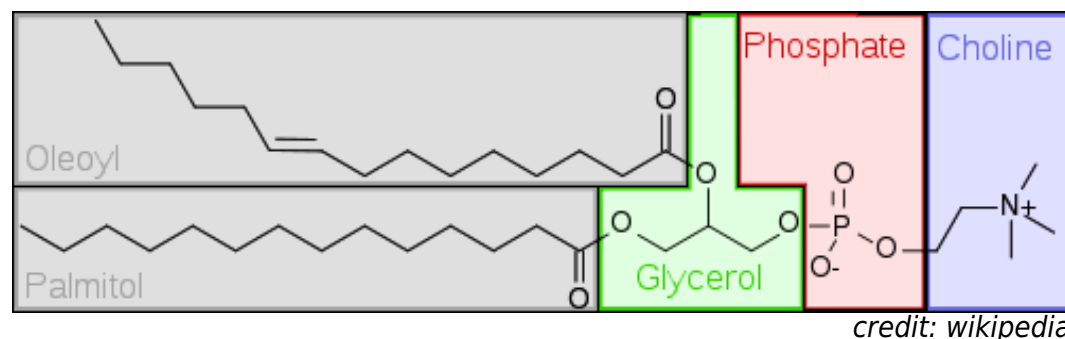


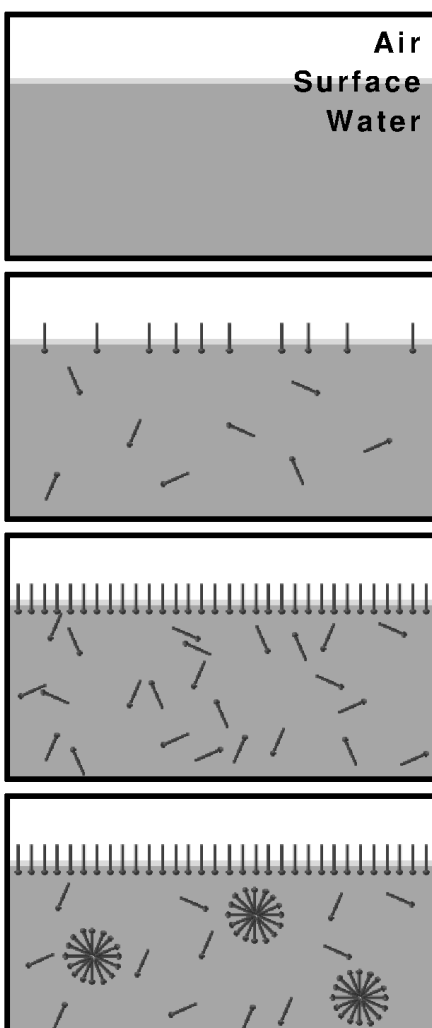
Určení typu – většina vlastností dána disperzním prostředím (el. vodivost, smáčení, rozpouštění barviv)

Koncentrované a vysoce koncentrované emulze nutno stabilizovat **emulgátorem** – povrchově aktivní látkou, např. lecitin (phosphatidylcholine)

Zánik:

- flokulace (vznik agregátů – elst.)
- koalescence (splývání kapek)
- sedimentace (šlehačka – *creaming*)





credit: wikipedia

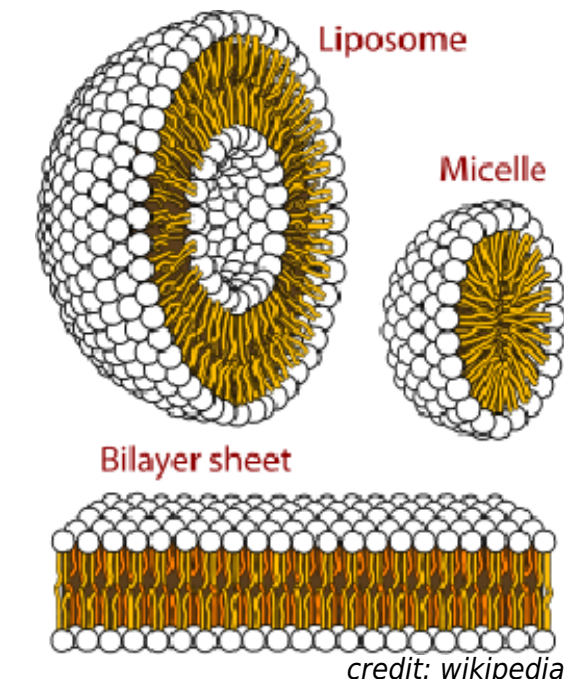
Micela = obvykle kulovitý útvar tvořený surfaktantem a stabilizovaný:

- lyofilní interakcí (s rozpouštědlem)
- lyofobní interakcí (vnitřek micely)

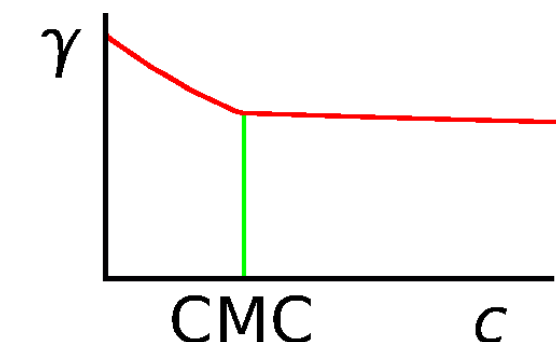
Vznik: roztok \rightarrow mikroagregace \xrightarrow{CMC} micela \rightarrow válcovité či laminární micely, kapalné krystaly ap.

Kritická micelární koncentrace (CMC) = počátek vzniku micel („víc se jich na povrch nevejde“), zlom na křivce γ vs. c (zlom je trochu zakulacený – CMC není fázový přechod)

Obrácená (inverzní) micela (máslo)



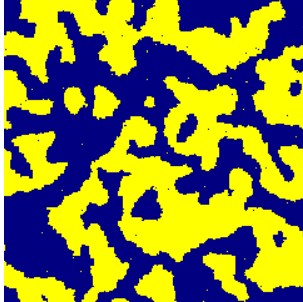
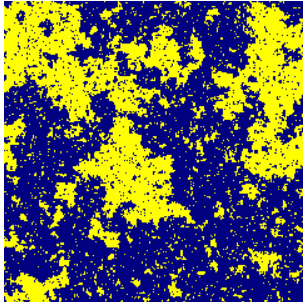
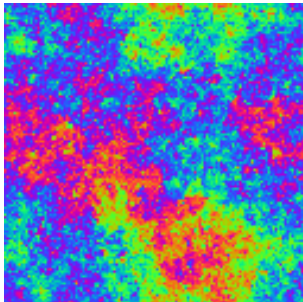
credit: wikipedia



Solubilizace – schopnost micel absorbovat lyofobní látky

Detergence – praní, surfaktanty solubilizují hydrofobní špínu na povrchu

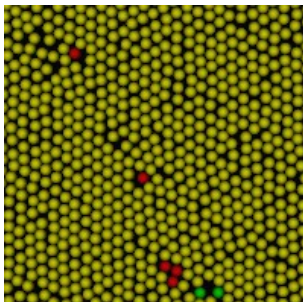
Vsuvka: klasifikace fázových přechodů

- 1. řádu (*first-order*), též 1. druhu: nespojitá 1. derivace G, F aj., tj. skok v entalpii, hustotě aj.; příklady: krystalizace, tání, var, sublimace →→→ 
- (Ehrenfest) n -tého řádu: nespojitá n -tá derivace G, F
- spojité (*continuous*), též 2. řádu:
 - divergence 2. derivace: kritický bod kapalina–pára, Curieův bod lambda-přechod He, některé tekuté krystaly perkolace →→→ 
 - všechny derivace spojité (Kosterlitz–Thouless, Nobelova cena 2016):
 - např.: $f(x) = \begin{cases} e^{-1/x} & \text{pro } x > 0 \\ 0 & \text{pro } x \leq 0 \end{cases}$: XY model, 2D s +/– excitacemi →→→ 
 - ...

Zeskelnění (*glass transition*) = viskozita $> 10^{12}$ Pa s, **není fázový přechod**.

Vznik micel (v CMC) **není fázový přechod**.

Krystalizace micel (do laminární/fibrilární fáze) **je fázový přechod 1. druhu**.

S jistotou nevíme, jakého typu je krystalizace tuhých disků (asi 1. druhu). →→→ 

Dvojvrstva

Dvě vrstvy surfaktantu; buněčná membrána = fosfolipidická dvojvrstva („slepená“ hydrofobními konci), obv. 2D kapalina

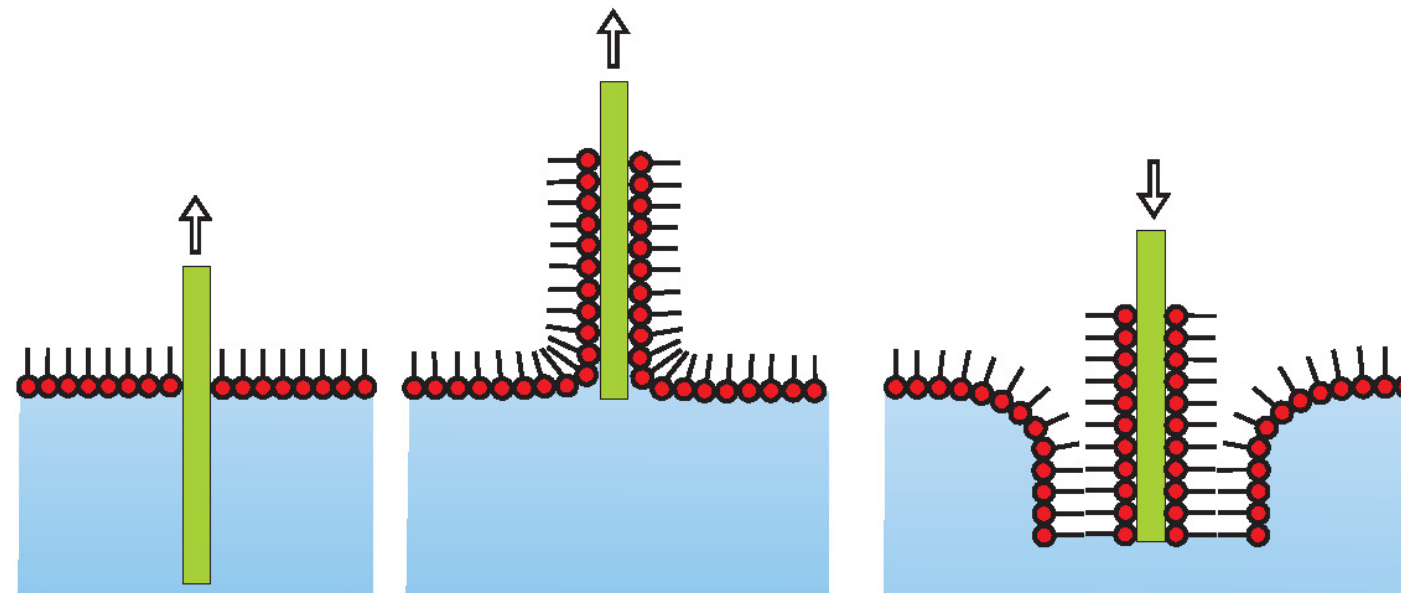
vesikl (angl. *vesicle*, č-s i vesikula, vezikl, vezikula);

z dvojvrstvy, obsahuje kapalinu uvnitř

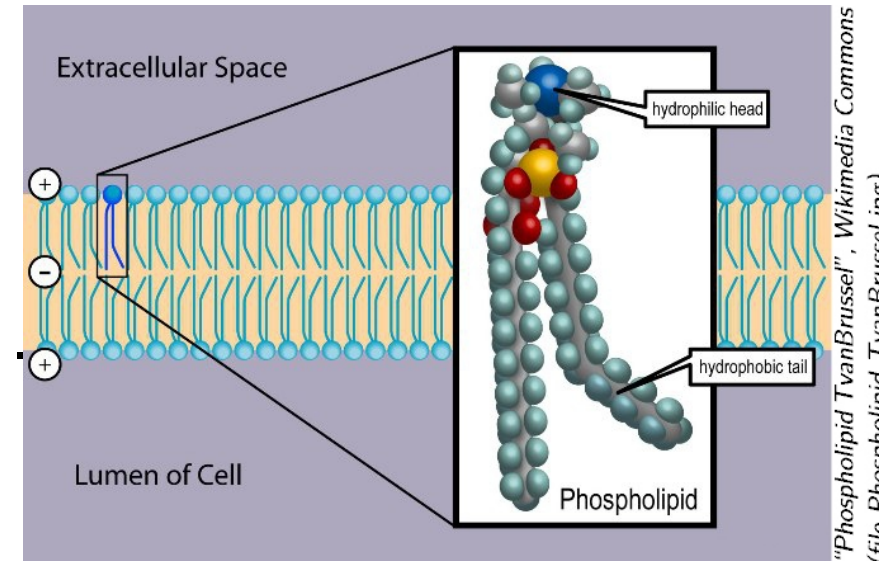
lysosom (lyzozom), angl. *lysosome*; vakuola, transportní vesikl...

umělý liposom (lipozom): cílený transport léků

filmy Langmuira a Blodgettové: více vrstvé, obv. 2D krystal



– model biomembrány, senzor glukosy,
možné mikroelektronické aplikace, antireflexní vrstvy



"Phospholipid TvanBrussel", Wikimedia Commons
(file Phospholipid_TvanBrussel.jpg)

Gely

Souvislá (perkolovaná) 3D síť dispergované složky (i prostředí), v klidu netečou

Obecně **lyogel**, ve vodě **hydrogel**,
vyschlý **xerogel** (malý podíl vzduchu)

reverzibilní (vratný) gel $\xrightarrow{\text{sušení}}$ xerogel
 $\xleftarrow{\text{bobtnání}}$

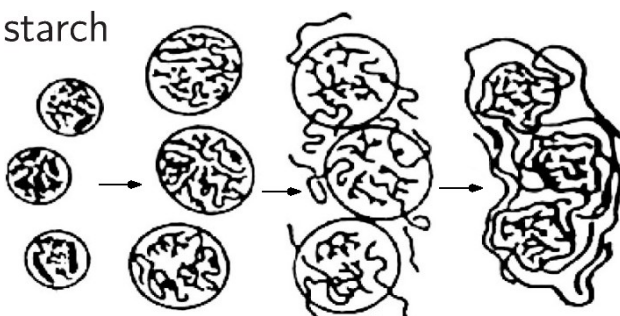
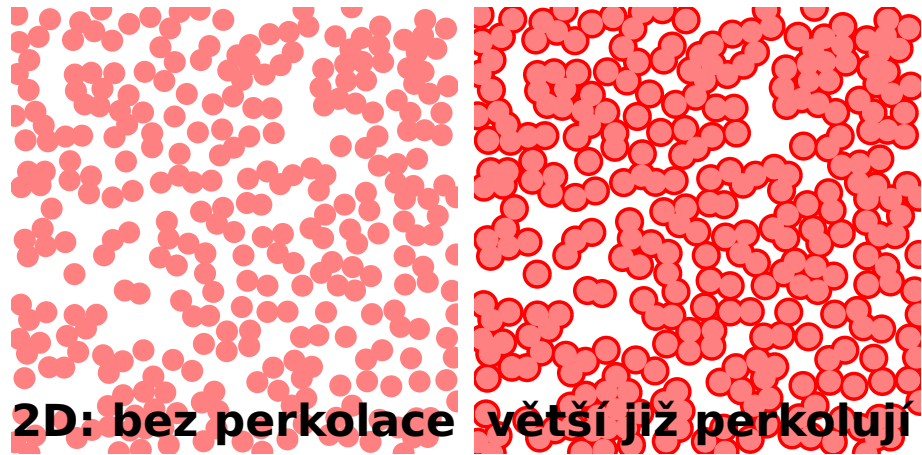
někdy se reverzibilita vztahuje k procesu sol \rightleftharpoons gel

Vznik gelů:

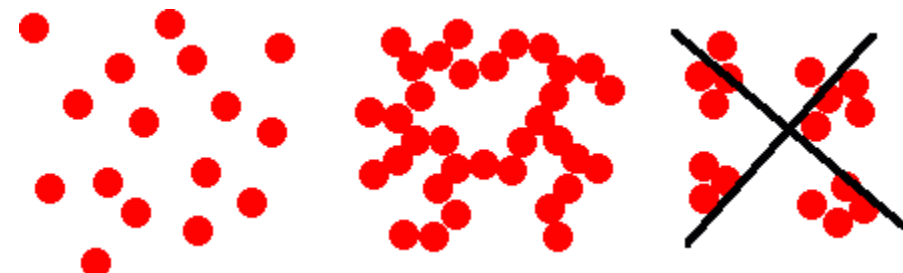
- želatinizací (gelatinizací) roztoků makromolekul:
 - zesítění chemickou vazbou
 - asociace (vdW, vodíkové vazby)
 - krystalické styčné body
 - geometrické síťování (propletení, *entanglement*)

- destabilizací (obv. lyofobních) solů se zesítěním (ne koagulací)

želatinizace pokračuje stárnutím gelu
synereze = vypuzování kapaliny (jogurt)



credit: Biodegradable Polymers by Babak Ghanbarzadeh and Hadi Almasi



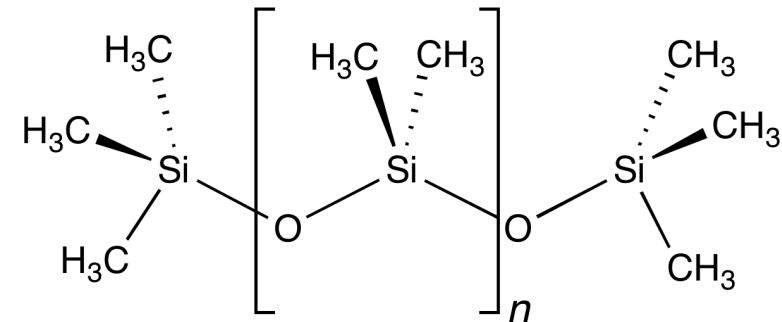
credit: Wikipedia

Mechanické vlastnosti gelů:

- elasticita (málo kovalentních spojů)
- tixotropie (reverzibilní slabé spoje)

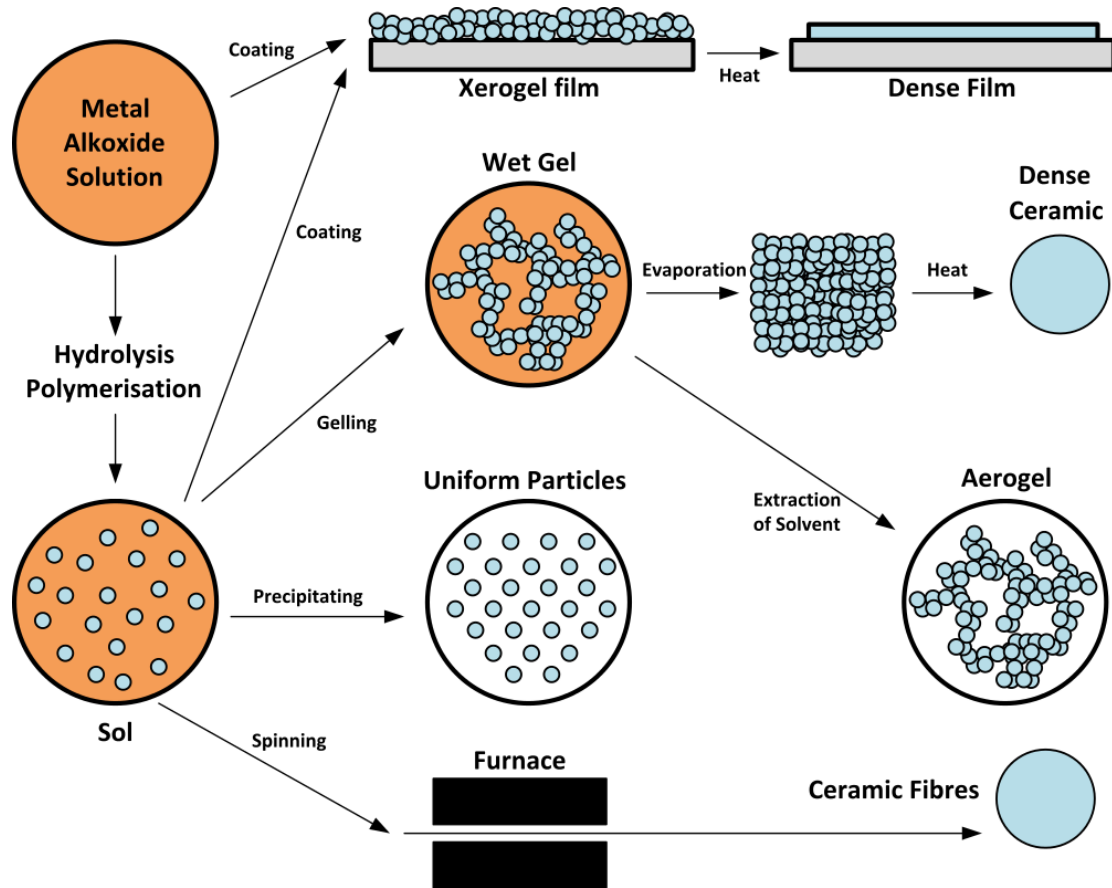
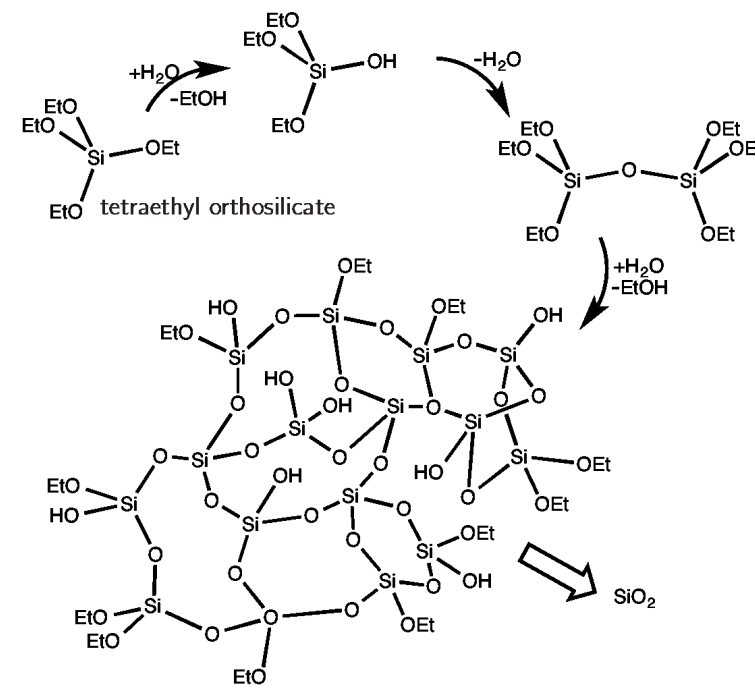
Hydrogely:

- kontaktní čočky (polyakrylamidy, „silikon“ – propustný pro kyslík ↑)
- pleny (polyakrylát sodný, $[-\text{CH}_2-\text{CH}(\text{COONa})-]_n$)
nabité řetězce se odpuzováním napřimují a tvoří dutiny
- biomateriál – implantáty (silikon), lešení pro růst tkání



Gely

Sol-gel proces: syntéza koloidních částic v kapalné fázi, želatinizace a následná výroba různých pevných materiálů (keramika, vrstvy, vlákna aj.)



credit: https://en.wikipedia.org/wiki/Sol-gel#/media/File:Sol-Gel_Scheme.svg

Aerogel = xerogel s velmi malou hustotou (superkritické sušení), silikagel až 1.9 g dm^{-3} ; alumina; aerografit 0.18 g dm^{-3} – pevnost v tahu 1 kPa

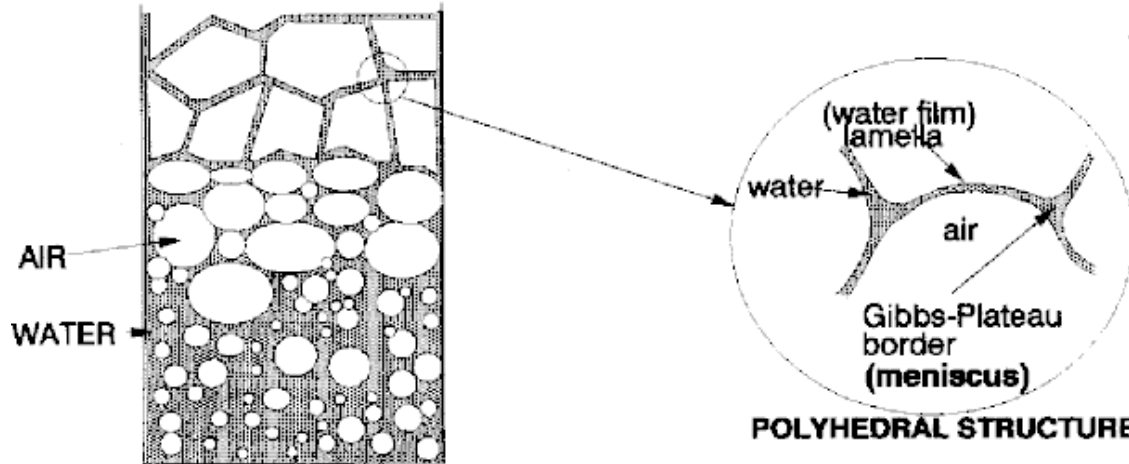
Použití: izolace, adsorbent, Čerenkovův detektor

oxid grafenu+polyvinylalkohol 2.1 kg m^{-3} , freeze casting/drying, zvuk. izolace (PUR 32 kg m^{-3})

Pěny

Plyn v kapalině

- vlhké pěny (kulovité bubliny)
- suché pěny (mnohostěny, 12–14)
- Plateauova pravidla (zákony)
- Gibbsovy–Plateauovy kanálky



Stabilizace povrchově aktivními látkami (pěnotvorná činidla): detergenty, proteiny, prášky

Zánik: vytékání kapaliny, vypařování, Ostwaldovo zrání, protržení filmů

Suché pěny: např. pěnový polystyren

Aerosoly

Kapalný podíl: mlhy (10 nm – 10 μm)

Pevný podíl: dým (do 10 μm), prach (nad 10 μm)

Zánik:

- sedimentace (stabilizace: sluneční záření ohřívá částice)
- koagulace (stabilizace: náboj)

Náboj částic: rozprašování (tryska, moře), ionizace krátkovlnným zářením, rozmělňování iontových krystalů

Aerosol hořlavých částic může vybuchnout: mouka, uhelný prach, termobarické (FAE, *fuel air explosive*) zbraně.



Typy šíření plamene:

- difuzní plamen – složky se mísí difuzí (svíčka)
- deflagrace – složky jsou smíšeny, šíření tepelnou vodivostí (plynový kotel)
- detonace – složky jsou smíšeny, zapáleno rázovou vlnou

Atmosférické aerosoly

troposféra

mraky

kap(ič)ky obvykle obsahují nukleační jádra (často soli jako $(\text{NH}_4)_2\text{SO}_4$)
polarizovatelné anionty se shromažďují na povrchu kapiček

pevné aerosoly

nejstabilnější jsou částice ≈ 300 nm:

- menší částice rychle difundují a adsorbuje se
- větší sedimentují

menší než cca $10 \mu\text{m}$ (PM10, měří se aerodynamický průměr) se nezachytí v nose, dostávají se až do plicních sklípků a (menší) se mohou dostat až do krve

PM = Particulate Matter

smog (*< smoke and fog*):

- Londýnského typu (kouř, mlha, SO_2), redukční; vog = volcanic smog
- fotochemický smog (L.A.): $\text{NO}_2 + \text{VOC} + h\nu \rightarrow \text{O}_3 + \dots$, oxidační

VOC = Volatile Organic Compound

stratosféra

saze (vznášejí se vlivem ohřevu slunečním zářením)

sopečný popel, $\text{SO}_2 \rightarrow \text{SO}_4^{2-}$ (\rightarrow ochlazení)

nukleární zima (saze), vulkanická zima (popel, SO_x)